

بررسی اثر تابش خورشید بر میزان ابتلا به نایینایی در نواحی روستایی استان چهارمحال و بختیاری

عباسعلی آروین^۱- استادیار اقلیم‌شناسی گروه جغرافیا، دانشکده علوم اجتماعی دانشگاه پیام نور ، تهران، ایران

تاریخ دریافت: ۱۳۹۵/۲/۲۵ تاریخ پذیرش: ۱۳۹۵/۷/۳۱

چکیده

تابش خورشید با تمام مزایایی که دارد، در برخی مناطق به دلیل ویژگی اقلیمی و ریخت‌شناسی زمین، دارای اثرات منفی از جمله شیوع بیماری‌ها مانند آب‌مروارید است که منجر به نایینایی و کمینایی در انسان می‌شود. در روستاهای استان چهارمحال و بختیاری تعداد ۹۰۰ نفر نایینا و کمینا وجود دارد که تعداد بالای آن می‌تواند ناشی از عوامل محیطی باشد. برای بررسی این موضوع از داده‌های تعداد مبتلایان به نایینایی در سطح روستاهای نمونه استان و داده‌های تابش تخمین زده شده در سطح افقی و شیدار روستاهای استفاده شد. روش کار مبتنی بر تخمین مقدار تابش در سطح افقی بر اساس معادله آنگستروم و معادله شدت تابش بر اساس عوامل اقلیمی و تخمین تابش در سطح شیدار بر اساس معادله دافی و بکمن بود. نتایج نشان داد با افزایش ارتفاع روستاهای تعداد مبتلایان به نایینایی زیادتر می‌شود. همچنین با افزایش مقدار شیب و تغییر جهت شیب روستاهای سمت جنوب، تعداد مبتلایان به نایینایی افزایش می‌یابد. ضریب همبستگی بین مقدار تابش و نرخ افزایش تابش در سطح شیدار برابر با $R = 0.892$ و ضریب همبستگی بین جهت شیب با نرخ افزایش تابش در سطح شیدار برابر با $R = 0.820$ که هر دو در سطح اطمینان ۹۹ درصد تأیید می‌گردند. نتایج نشان داد $45/9$ درصد جمعیت روستایی با بالای آب‌مروارید در شیب‌های رو به جنوب، جنوب غرب و جنوب شرق زندگی می‌کنند و ارتباط معناداری بین مقدار شیب و جهت شیب به سمت جنوب با نرخ نایینایی وجود دارد. همچنین ارتباط بین افزایش ارتفاع روستاهای افزایش تعداد مبتلایان به نایینایی در سطح اطمینان ۹۵ درصد معنادار است و بیشتر نایینایان (۶۰ درصد) در ارتفاع بالاتر از ۲۰۰۰ متر زندگی می‌کنند.

کلیدواژه‌ها: آب‌مروارید، شدت تابش، شیب، جهت شیب، استان چهارمحال و بختیاری.

مقدمه

اگرچه انرژی تابشی خورشیدی یکی از منابع تأمین انرژی تجدید پذیر، رایگان و پاک است. با این حال قرارگیری مداوم در معرض تابش خورشیدی بخصوص تشعشعات UV عوارضی مانند بیماری‌های پوستی، جنین ناقص، مشکلات ناباروری و آب‌مروارید (ستورم، ۲۰۰۳)، ضعف سیستم ایمنی بدن و افزایش حساسیت بخصوص کودکان به پذیرش بیماری (هویوس باچیلوگا و همکاران، ۲۰۱۴) آب‌مروارید (ترامپسین و سیگموند، ۲۰۰۱؛ بلاکلی و همکاران، ۱۹۸۹؛ چودیک و همکاران، ۲۰۱۰؛ لتو تی جیلاک، ۲۰۱۰) نیکولاوس بروان و همکاران، ۱۹۸۹؛ میدل فارت، ۲۰۰۵) را در انسان موجب می‌شود.

آمارها نشان می‌دهد هم اکنون ۱۶ میلیون انسان نایينا ناشی از آب‌مروارید وجود دارد و حدود ۱۱۰ میلیون نفر در دنیا مشکلات بینایی شدید ناشی از آب‌مروارید دارند. در ایران نیز این بیماری ۵۰ تا ۹۰ درصد از موارد نایینایی را به وجود آورده است (مباشی و همکاران، ۱۳۹۲: ۱۶۸) در حال حاضر حدود ۷۰۰ هزار تا یک‌میلیون نفر در ایران مبتلا به آب‌مروارید هستند (زالی، ۱۳۹۳). عوامل متعددی از جمله افزایش سن که معمولاً در سنین بالای ۵۰ سال بروز می‌کند، ضربه خوردن چشم، مصرف داروها و زننده از علل بروز آب‌مروارید هستند (عظیمی، ۱۳۹۵) ولی بسر بردن بیشتر اوقات روز در مقابل نور آفتاب بدون استفاده از عینک که در میان روستائیان بیشتر رایج است نیز یکی از علل اصلی این بیماری می‌باشد (محمدی، ۱۳۹۴).

نایینایی و کم‌نایینایی از جمله امراضی است که در استان چهارمحال و بختیاری شیوع قابل توجهی دارد. بر اساس آمار اداره بهزیستی استان چهارمحال و بختیاری تعداد ۱۹۱۲ نفر در این استان از جمله مددجویان دارای مشکل نایینایی می‌باشند که به اشکال مختلف از امراض چشمی رنج می‌برند که تعداد ۹۰۰ نفر آن در نقاط روستایی می‌باشند. بر اساس فرض اولیه، کم‌نایینایی و نایینایی تحت تأثیر عوامل و عناصر اقلیمی از جمله شدت و طول مدت تابش خورشید است. از این‌رو هدف اصلی این تحقیق مطالعه ارتباط عوامل اقلیمی و تعداد مبتلایان به بیماری نایینایی و بررسی نقش عوامل اقلیمی بر شیوع بیماری نایینایی و کم‌نایینایی در استان چهارمحال و بختیاری است. در ادامه راهکارهای مفید در جهت اصلاح شرایط میکروکلیمایی بهمنظور کاهش تعداد مبتلایان به این بیماران ارائه گردد.

در خصوص علل محیطی نایینایی و کم‌نایینایی در کشور تاکنون تحقیق مدونی صورت نگرفته است. فقط کیفیت زندگی بیماران بالای ۵۰ سال قبل و بعد از عمل آب‌مروارید در روستاهای استان چهارمحال و بختیاری بررسی شده و نتایج نشان داده در حد قابل قبولی کیفیت زندگی بعد از عمل بهبود یافته است، ولی تحقیقات بسیاری در خارج از کشور این موضوع را مورد کنکاش قرار داده‌اند. برای مثال تحقیقات بروان و همکاران نشان داده قرار گرفتن در معرض مدام تشعشعات خورشیدی موجب بروز آب‌مروارید زیر کپسولی در ناحیه خلفی چشم می‌گردد. نتایج نشان داد تفاوت معناداری بین تغییرات در سطح حساسیت تشعشع بین بیماران و گروه کنترل وجود دارد (برون و

همکاران^۱، ۱۹۸۹: ۹۵۸) بررسی مقاومت در برابر تشعشعات فوق شدید UV و نایینایی خورشیدی ناشی از فوتوكاتدهای KBr و CsI نشان می‌دهد زاویه برخورد برای کاهش حساسیت به تشعشعات UV خیلی مهم نیست در حالی که تغییر در وازنی نور مرئی (برای مثال کاهش نایینایی خورشیدی) به زاویه برخورد بستگی دارد. افزایش حساسیت به نور مرئی می‌تواند توسط مجموع دوز جمع شده تعیین گردد و ارتباطی با جریان تابش در خلال فعالیت و طغیان تابش خورشید و انتشار حداکثر UV ندارد (ترمسین و سیگموند^۲، ۲۰۰۱: ۴۲۳).

تشعشع دارای دو اثر کوتاه مدت بلافصله بعد از تشعشع و بلند مدت تقسیم می‌شود. تشعشع شدید خورشیدی با آستانه تشعشع^۳، ۲ و ۵۰ گری سه عارضه و مرض متفاوت با نام‌های اختلال در خون‌سازی^۴ مغزا استخوان، مشکلات دستگاه گوارش^۵ و سندروم عروق مغزی^۶ بر بدن انسان دارد. دوزهای بالاتر علت ۵۰ درصد مرگ انسان ناشی از اختلال در خون‌سازی مغزا استخوان است. عدم تکامل جنین، از دست دادن آبستنی، شیوع و گسترش نازایی و تخربی باروری و آب‌مروارید (کدری کریستالی عدسی چشم) از علائم شناخته شده آن است. در افرادی که ۲ گری تشعشع دریافت می‌دارند ۱۰ درصد، با ۵ گری ۵۰ درصد و با ۱۰ گری دریافت تشعشع ۹۰ درصد مردم به بیماری کدری عدسی مبتلا می‌شوند (ستورم^۷، ۲۰۰۳: ۴). قرارگیری در معرض تابش نور ماوراء بنفس خورشیدی (UVR) یکی از علل افزایش خطر ابتلا به آب‌مروارید است. تأثیرپذیری چشم از تشعشع خورشیدی به عوامل مختلفی، مانند شرایط جوی، میزان انعکاس نور از محیط، موقعیت جغرافیایی و موقعیت آناتومیک چشم بستگی دارد. نتایج تحقیقات نشان داده چشم‌های جوان آسیب‌پذیری بیشتری به تشعشعات فوق شدید دارند و ویتامین E موجب می‌شود چشم در برابر خطر ابتلا به بیماری آب‌مروارید مقاومت بیشتری داشته باشد. اگرچه راه حل این و مؤثر برای بهبود بینایی عمل جراحی است اما در پیش گرفتن استراتژی برای پیشگیری اولیه می‌تواند میزان ابتلا به آب‌مروارید را به طور بالقوه کاهش دهد و از هزینه‌های عمل جراحی و مراقبت‌های بعدهاشتی کاست (میدلفورت^۸، ۲۰۰۵: ۶۴۴). بر اساس نتایج تحقیق میشل و همکاران کاهش تعداد روزهای ابرناکی و افزایش درخشندگی خورشید در برخی مناطق می‌تواند شرایط بینایی انسان‌ها را بشدت تحت تأثیر قرار دهد (مک میشل^۹، ۲۰۰۶: ۶۷). نرخ پذیرش آنافیلاکسی (ضعف سیستم ایمنی بدن و واکنش حاد حساسیت به یک عامل بیماری زا) در کودکان عرض‌های جغرافیایی بالا با کمترین میزان دریافت تابش خورشیدی به عنوان نماینده ویتامین D به بالاترین میزان می‌رسد.

1 Brown et al.

2 Tremsin and Siegmund

3 hematopoietic

4 Gastrointestinal (GI)

5 Cerebrovascular (CV)

6 Strom

7 Midelfart

8 McMichael

در حالی که در عرض‌های جنوبی نرخ پذیرش آنافیلاکسی ممکن است ناشی از رژیم بد غذایی باشد. نتایج نقش احتمالی کمبود ویتامین D به عنوان علت اصلی در پذیرش بالای آنافیلاکسی در نواحی جنوب شیلی را ثابت کرد. اگرچه سایر تحقیقات افزایش بیماری آرثی را به بالا بودن ویتامین D نسبت می‌دهند. با این حال افزایش تشعشع فوق شدید اثرات مستقل از ویتامین D بر عملکرد سیستم ایمنی بدن دارد (هایوس بچیلوگو^۱، ۲۰۱۴: ۳۴۲).

در ۹ و ۱۰ مارس ۲۰۰۹ در هیرو شیما، ژاپن سینیار بین‌المللی در مورد پرتوهای خور شید و شیوع آب‌مروارید توسط دکتر کازوئو نریشی سازماندهی و برگزار شد. عنوان سینیار تحقیقات بین‌المللی در خصوص اثرات تابش (RERF) بود که ۳۴ اپیدمیولوژیست، چشم‌پز شک و رادیوپیولوژیست شواهد موجود در مورد تابش و آب‌مروارید، بروز و آستانه پتانسیل دوز تابش را در انسان بررسی کردند که برخی نتایج به شرح زیر است. بلکلی و همکاران^۲ (۲۰۱۰: ۷۱۷-۷۰۹) شرایط زیست‌شناختی و شیوع آب‌مروارید در ارتباط با تابش خور شید را بررسی کردند. نتایج تحقیقی که بر روی شیوع آب‌مروارید بر اساس اطلاعات NASA انجام شد مشخص ساخت خطر ابتلا فضانوردان به آب‌مروارید بیشتر است. زیرا این افراد مدت‌زمان زیادی در معرض نور آفتاب هستند (چیلک^۳، ۲۰۱۰: ۷۱۰).

چودیک و همکاران^۴ متغیرهای مؤثر بر شیوع آب‌مروارید را که شامل در معرض تشعشع UV خورشیدی قرار گرفتن، چاقی، دیابت، فشارخون بالا و ورم مفاصل بود را اندازه گرفتند. نتایج نشان داد اشعه X خورشیدی بیشترین تأثیر را در بروز آب‌مروارید دارد. حتی در افرادی که به‌واسطه شغلی مجبور بودند در زمان طولانی‌تر در معرض دوز کمتر تشعشع X خورشیدی باشند، خطر ابتلا بالاتر است (چودیک و همکاران، ۲۰۱۰: ۷۰۹).

در این پژوهش از نتایج و تجربیات تحقیقات کومار و همکاران^۵ (۱۹۹۷)، وانگ و همکاران^۶ (۲۰۰۲)، کمالی و همکاران (۲۰۰۶)، آلن و همکاران^۷ (۲۰۰۶)، شیام و گراوال^۸ (۲۰۱۱: ۴۵)، باسونیان و همکاران^۹ (۲۰۱۲)، گراوال (۲۰۱۳) در اتخاذ روش مناسب برای برآورد تابش در سطح شیدار استفاده شد.

منطقه مورد مطالعه

منطقه مورد مطالعه در این پژوهش استان چهارمحال و بختیاری با مساحت ۱۶۵۳۲ کیلومترمربع است که بین عرض جغرافیایی ۳۱ درجه و ۹ دقیقه تا ۳۲ درجه و ۴۸ دقیقه شمالی و طول جغرافیایی ۴۹ درجه و ۲۸ دقیقه تا ۵۱

1 Hoyos-Bachiloglu

2 Blakely et al.

3 Chylack

4 Chodick et al.

5 Kumar et al.

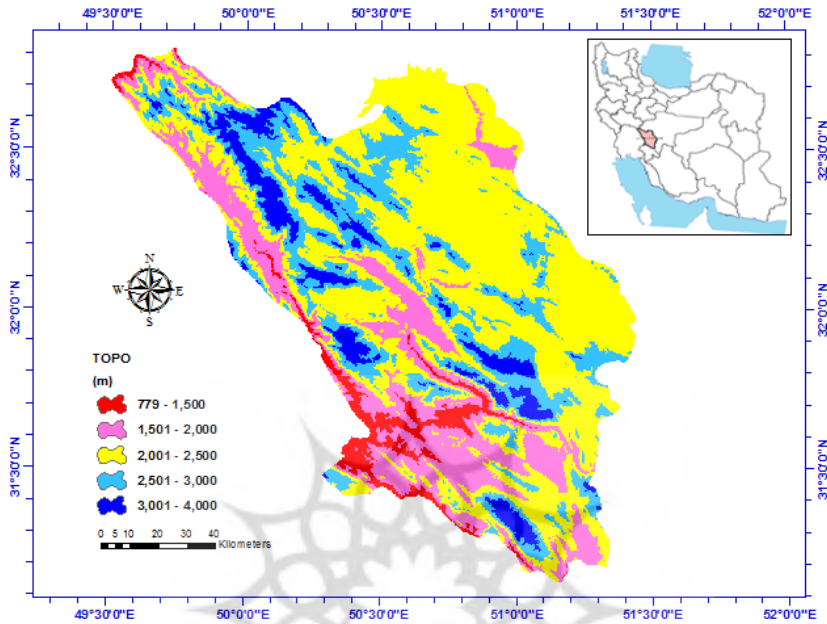
6 Wang et al.

7 Allen et al.

8 Shyam & Aggarwal

9 Bassuna et al.

درجه و ۲۵ دقیقه شرقی قرار دارد (شکل ۱). بر اساس سرشماری سال ۱۳۸۵ در استان چهارمحال و بختیاری ۱۰۴۸ روستا وجود دارد که داده‌ها تعداد مبتلایان به نایینایی در ۱۹۷ روستا از طرف اداره بهزیستی استان ارائه شد و درنهایت اطلاعات نایینایی و کمینایی ۵۷ روستا برای تحلیل مورد استفاده قرار گرفت.



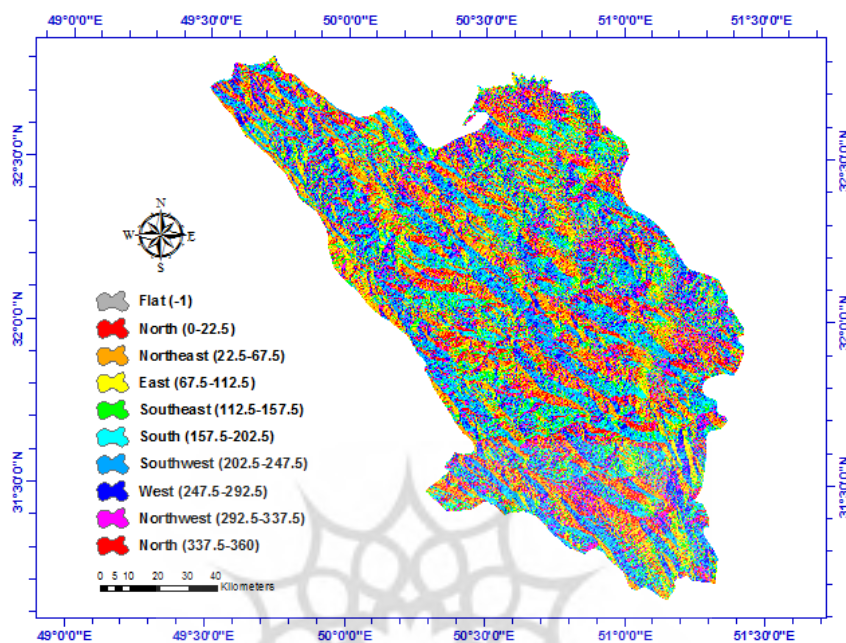
شکل ۱: موقعیت استان چهارمحال و بختیاری در کشور ایران

مواد و روش‌ها

انجام این پژوهش مبتنی بر استفاده از سه سری داده‌ها بود:

۱. داده‌های مربوط به میزان تابش و سایر عناصر اقلیمی مؤثر بر تابش از جمله؛ ساعت‌آفتابی، دما، رطوبت نسبی، ابرناکی در کلیه ایستگاه‌های استان چهارمحال و بختیاری. شدت تابش خورشید فقط در ایستگاه سینوپتیک فرودگاه شهرکرد اندازه‌گیری می‌شود که میانی برآورد تابش در سایر ایستگاه‌های استان قرار گرفت. مقدار تابش در سایر ایستگاه‌های استان بر اساس روابط تجربی و ارتباط تابش با سایر عوامل اقلیمی برآورد شد.
۲. داده‌های مربوط به نایینایی و کمینایی در ۱۸۹ نقطه روستایی استان چهارمحال و بختیاری که از مرکز مبارزه با بیماری‌های واگیر اداره کل بهزیستی استان چهارمحال و بختیاری تهیه شد. در مرکز روستایی استان تعداد ۹۰۰ نفر نایینایی وجود دارد. با توجه به نیاز به مطالعه موردي بر روی شرایط اقلیمی و فیزیوگرافی روستاهای نمونه مورد مطالعه در این پژوهش، روستاهایی با حداقل ۵ نفر نایینایی بود که فراوانی این روستاهای ۵۷ عدد است. در این ۵۷ روستا تعداد ۵۵۵ نفر نایینایی وجود دارد؛ یعنی ۶۱/۷ درصد ناییناییها در ۵۷ روستا یا ۳۰/۲ درصد روستاهای هستند.

۳. فایل رقومی نقشه DEM استان چهارمحال و بختیاری در مقیاس ۱/۲۵۰۰۰ که مبنای سنجش مقدار و جهت شیب در محل روستاهای تخمين سایر پارامترهای اقلیمی قرار گرفت (شکل شماره ۲).



شکل ۲: نقشه شیب و جهت شیب استان چهارمحال و بختیاری

روش کار در این پژوهش چند مرحله بود که به ترتیب ذکر می‌کنیم:

مرحله نخست: با توجه به اینکه مقدار و شدت تابش خور شید فقط در ایستگاه سینوپتیک شهرکرد اندازه‌گیری می‌شود و هدف مطالعه بررسی وضعیت تابش در سطح روستاهای استان چهارمحال و بختیاری بود؛ لذا ابتدا با استفاده از روش‌های تخمين تابش بر اساس الف؛ معادله آنگستروم مبنی بر ضریب روشنایی و ب: روابط تابش با سایر عناصر اقلیمی ازجمله دما T ، رطوبت نسبی RH و مقدار ابرناکی CL ، اقدام به تخمين تابش در سطح ایستگاه‌های استان شد و سپس با استفاده از روش‌های میانیابی مقدار تابش در محل روستاهای تعیین گردید.

مرحله دوم: تخمين تابش در محل روستاهای با توجه به اینکه مقدار تابش در محل روستاهای به عوامل مورفولوژیکی ازجمله شیب زمین و جهت شیب در محل روستا بستگی دارد؛ لذا به تخمين تابش بر اساس ویژگی‌های مورفولوژیکی زمین پرداخته شد. جهت تخمين مقدار تابش بر اساس شیب زمین روش‌های مختلفی ارائه شده است که در این پژوهش از روش دافی بکمن (۱۹۸۰) استفاده شد که رابطه آن به شکل زیر است.

$$\cos \theta = \cos \theta_z \cos \beta + \sin \theta_z \cos \beta \cos(\gamma_s - \gamma)$$

رابطه ۱

در این معادله:

θ زاویه برخورد تابش: زاویه بین پرتو تابش به سطح و خط برخورد نرمال

δ زاویه میل تابش خورشید

ϕ عرض جغرافیایی محل

β زاویه شیب

γ آزیموت سطح شیب، نسبت به جنوب صفر، در جه شرق منفی از 0° تا -180° درجه و به سمت غرب مثبت از $+180^{\circ}$ تا 0°

ω زاویه ساعتی خورشید، در صبح منفی و در بعدازظهر مثبت به ازاء هر ساعت 15° درجه.

γ_s جهت زاویه تابش خورشید، جنوب صفر، در جهت شرق منفی و از 0° تا -180° درجه و به سمت غرب مثبت که از 0° تا $+180^{\circ}$ تغییر می‌کند.

همان‌طور که در رابطه ۱ و ۲ مشخص است برای محاسبه مقدار تابش تحت شرایط مورفولوژیکی روستا به زاویه زنیت یا سر سو پرتو تابش و نیز زاویه جهت تابش نیاز است و این زاویه تحت شرایط آنی خورشید در طول روز قابل اندازه‌گیری و محاسبه است لذا باید مقدار تابش خورشید در ساعات معین روز محاسبه گردد. برای محاسبه تابش خورشید در ساعت معین روز از رابطه ۳ بهره‌گیری شد.

$$r_t = \frac{\pi}{24} (a + b \cos \omega) \frac{\cos \omega - \cos \omega_s}{\sin \omega_s - \frac{\pi \omega_s}{180} \cos \omega_s} \quad \text{رابطه ۲}$$

در این رابطه:

r_t نسبت تابش در هر ساعت از روز به تابش کلی روزانه است.

a و b ضرایب معادله هستند که از روابط ۴ و ۵ به دست می‌آیند.

$$a = 0409 + 0.5016 \sin(\omega_s - 60) \quad \text{رابطه ۳}$$

$$b = 0.6609 - 0.4767 \sin(\omega_s - 60) \quad \text{رابطه ۴}$$

ω_s زاویه ساعتی غروب خورشید است که از رابطه ۶ به دست می‌آید:

$$\omega_s = -\frac{\sin \varphi \sin \delta}{\cos \varphi \cos \delta} = -\tan \varphi \tan \delta \quad \text{رابطه ۵}$$

سوم؛ تعیین مقدار شیب در محل روستاهای با توجه به اینکه مقدار شیب و جهت آن تأثیر قابل توجهی در دریافت شدت تابش در سطح زمین دارد، مقدار و جهت شیب روستاهای بر اساس نقشه توپوگرافی استان محاسبه شد. این کار با استفاده از نقشه رستری مدل رقومی ارتفاع (DEM)^۱ و مدل رقومی ارتفاع در حالت برداری (شبکه نامنظم مثلث

بندی (TIN)^۱ در مقیاس ۱/۲۵۰۰۰ انجام شد. بر روی این نقشه کلیه نقاط استان با توان تفکیک ۲۵۰ متر در راستای محورهای y , x و ۱۰ متر در راستای محور z (ارتفاع) مشخص شده‌اند.

با توجه به اینکه در نیمکره شمالی حداقل میزان تابش در دامنه‌های جنوبی بخصوص در فصل سرد سال دریافت می‌شود. برای بررسی روابط آماری جهت شیب با تابش و نایینایی حداقل جهت شیب ۱۸۰ درجه جنوبی لحاظ شد که از جنوب به سمت شرق در خلاف جهت عقربه‌های ساعت و از جنوب به سمت غرب در جهت عقربه‌های ساعت از میزان آن کاسته می‌شود. آزمودت جهت شیب به طور طبیعی از جنوب به سمت شرق و شمال از میزان آن کاسته می‌شود و در شمال صفر می‌شود. جهت اعمال همین رویه در جهت غرب و شمال غرب در شیب‌های با آزمودت شیب بیش از $+180^\circ$ درجه از رابطه ۷ بهره گرفته شد:

$$D = 180 - (AZ - 180) \quad \text{رابطه ۷}$$

در این رابطه:

D : زاویه جهت شیب نسبت به جنوب و AZ : آزمودت جهت شیب در شیب‌های بیشتر از 180° درجه است

بحث و نتایج

بررسی وضعیت نایینایی در ارتباط با وضعیت فیزیوگرافی روستاهای

همان‌طور که پیشتر ذکر شد در مراکز روستایی استان چهارمحال و بختیاری تعداد ۹۰۰ نفر نایینا وجود دارد که تعداد ۵۴۷ نفر نایینا در ۵۷ روستا ثبت شده است. از میان آنها روستای بردنجان با تعداد ۲۹ نفر، بالاترین تعداد نایینایی و کمینایی را دارد. بررسی تعداد نایینایی در هر 1000° نفر جمعیت نشان می‌دهد، بالاترین شدت این مشکل در روستای شیخ علی خان است که ۴۹ در هزار نفر جمعیت، نایینا در این روستا وجود دارد. روستای صصاصی با ۴۴ و بهشتی با ۲۸ در هزار در رده دوم و سوم قرار می‌گیرند. در مجموع بعدازاین سه روستا، روستاهای؛ رستم‌آباد با ۱۷، سرآقا سید ۱۸، کران ۲۱، فیل آباد ۲۰، اشکفتک ۱۷ و ده چشممه ۱۷ نفر و به ترتیب با $15/6$ ، $13/2$ ، 5 ، $4/4$ ، $4/2$ در هزار نفر، بالاترین شدت نایینایی را دارا هستند. در ۲۳ روستا، بالای ده در هزار نایینایی وجود دارد. در دو روستا بین ۵ تا ۱۰ نفر در هزار و در ۳۲ روستا بین $1/5$ تا ۵ نفر در هزار نفر نایینای مشاهده می‌شود.

از ۵۷ روستایی که تعداد نایینایی و کمینایی در آن بالای ۵ نفر است، تعداد ۲۴ یعنی حدود $45/6$ درصد روستاهای دارای جهت شیب بین ۱۳۵ تا ۲۲۵ درجه یعنی، جنوب شرق، جنوبی و جنوب غرب بوده‌اند (جدول ۱). تعداد نایینایان در روستاهای با جهت‌های جنوب و جنوب شرق و جنوب غرب ۲۵۶ نفر ($46/8$ درصد)، در جهت‌های غربی و شرقی ۱۴۱ نفر ($25/8$ درصد) و جهت شمال، شمال غرب و شمال شرق ۱۵۰ نفر ($27/4$ درصد) بوده‌اند.

روابط همبستگی بین مقدار شیب و تعداد نایینای در هر 1000 نفر جمعیت معنادار و در سطح اطمینان 99 درصد با ضریب همبستگی $R=0.873$ تأیید می‌شود. بر این اساس با افزایش شیب بر تعداد مبتلایان به نایینای در استان چهارمحال و بختیاری افروده می‌گردد. بررسی و ضعیت شیب و جهت آن در روستاهای بالای 5 نفر نایینای نشان می‌دهد. روابط همبستگی بین جهت شیب نسبت به جنوب و مقدار تابش دریافتی در سطح شیدار و درصد افزایش مقدار تابش دریافتی در سطح شیدار به ترتیب با ضرایب همبستگی $R=0.820$ و $R=0.795$ در سطح اطمینان 99 درصد تأیید می‌شود. از میان روستاهای با شیب جنوب غربی، روستای سرآقاسید هم شیب زیادی دارد و هم جهت شیب جنوبی غربی است و هم تعداد آمار نایینایان و کمینایان ($13/2$ در هزار) در این روستا بالا است. روستای شیخ علی خان نیز با بالاترین نرخ نایینای ($49/02$ در هزار) نیز دارای شیب جنوب غربی و مقدار شیب $14/6$ درجه است.

جدول ۱ فراوانی روستاهای تعداد نایینایان در هشت جهت اصلی و جهت مناسب با حداکثر تابش

جهت شیب	جنوب	جنوب شرق	جنوب غرب	شرق	غرب	شمال	شمال شرق	شمال غرب
فراوانی تعداد روستاهای	۸	۷	۱۱	۱۰	۶	۸	۷	۰
فراوانی تجمعی تعداد روستاهای در جهت‌های خاص	۲۶	جنوب، جنوب شرق و جنوب غرب		شرق و غرب		شمال و شمال شرق و شمال غرب		
درصد فراوانی تجمعی تعداد روستاهای در جهت‌های خاص	$45/6$	جنوب، جنوب شرق و جنوب غرب		شرق و غرب		شمال و شمال شرق و شمال غرب		
جهت شیب	جنوب	جنوب شرق	جنوب غرب	شرق	غرب	شمال	شمال شرق	شمال غرب
فراوانی تعداد نایینایان	۸۹	۸۲	۸۵	۸۳	۵۸	۸۲	۶۸	۰
فراوانی تجمعی تعداد نایینایان در جهت‌های خاص	۲۵۶	جنوب، جنوب شرق و جنوب غرب		شرق و غرب		شمال و شمال شرق و شمال غرب		
درصد فراوانی تجمعی تعداد نایینایان در جهت‌های خاص	$46/8$	جنوب، جنوب شرق و جنوب غرب		شرق و غرب		شمال و شمال شرق و شمال غرب		

بررسی و ضعیت ارتفاعی روستاهای نشان می‌دهد همه روستاهای استان در ارتفاع بیش از 1170 متری قرار دارند و روستای شیخ علی خان با بالاترین نرخ نایینای در ارتفاع 2499 متری از سطح دریا واقع شده است. از ۵۷ روستا تعداد ۳۰ روستا با 333 نایینا (60 درصد) در ارتفاع بالاتر از 2000 متر، ۲۰ روستا با 173 نفر نایینا ($31/2$ درصد) در

ارتفاع ۱۵۰۰ تا ۲۰۰۰ متر و فقط ۷ روستا با ۴۹ نفر نایبینا (۸/۸ درصد) در ارتفاع ۱۱۷۰-۱۵۰۰ متری قرار دارند (جدول ۲). بین تعداد مبتلایان به نایبینایی و ارتفاع روستاهای رابطه همبستگی مثبت با $R = 0.266$ در سطح اطمینان ۹۵ درصد وجود دارد. به این ترتیب با افزایش ارتفاع روستاهای کوتاه شدن ارتفاع جو، شدت تابش بخصوص تابش UV افزایش یافته، بر تعداد نایبینایان افزوده می‌گردد. کوهستانی و مرتفع بودن روستاهای باعث می‌گردد تعداد روزهای برفی افزایش یابد. به طوری که در ایستگاه‌های کوهنگ با ارتفاع ۲۲۸۵ متر، شهرکرد (۲۰۴۸ متر)، بروجن (۲۱۹۷ متر) و لردگان (۱۵۸۰ متر) به ترتیب ۵۲، ۲۲، ۱۷ و ۸ روز توانم با ریزش برف است. با توجه اینکه ضریب آلیدوی برف نسبت به امواج UV و مرئی ۸۰-۹۰٪ است (وارن و همکاران^۱، ۱۹۸۰؛ ۲۷۱۳) این عامل نیز می‌تواند در افزایش ابتلاء آب‌مرواری د نقش داشته باشد.

جدول ۲ فراوانی تعداد روستاهای افراد دارای مشکل کم‌بینایی و نایبینایی بر اساس ارتفاع

	>۲۰۰۰	۲۰۰۰-۱۵۰۰	۱۵۰۰-۱۱۰۰	طبقه ارتفاعی
تعداد روستا	۳۰	۲۰	۷	تعداد روستا
درصد	۵۲/۶	۳۵/۱	۱۲/۳	درصد
تعداد نایبینا	۳۳۳	۱۷۳	۴۹	تعداد نایبینا
درصد	۵۹/۴	۳۱/۶	۹	درصد

ارتباط تابش با عوامل اقلیمی در سطح روستاهای

بررسی ضرایب همبستگی بین مقدار تابش دریافتی در سطح روستاهای و عناصر اقلیمی دما و رطوبت نسبی نشان می‌دهد میزان تابش در سطح روستاهای با دما رابطه مثبت و با رطوبت نسبی رابطه معکوس دارد که این روابط در سطح اطمینان ۹۹ درصد تأیید می‌گردد. با این حال ارتباط تابش در سطح افق با متوسط حداقل رطوبت نسبی ساعت ۱۲/۵ قوی‌تر است (جدول ۳). بر این اساس با افزایش رطوبت نسبی از شدت تابش کاسته می‌شود.

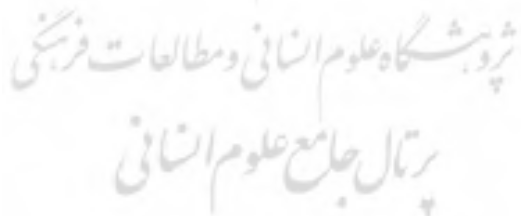
جدول ۳ ماتریس همبستگی بین عناصر اقلیمی و تابش در سطح روستاهای

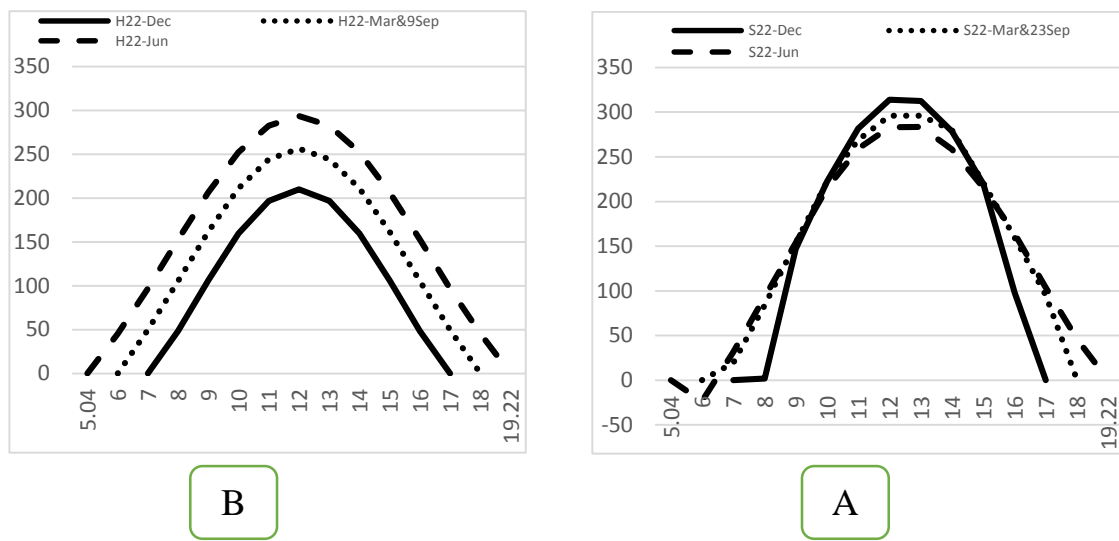
		متوجه حداقل	متوجه رطوبت نسبی	متوجه رطوبت نسبی
		متوجه حداقل	متوجه رطوبت نسبی	متوجه رطوبت نسبی
تابش	ضریب همبستگی پیرسون ^۲	** ۰/۴۰۶	** ۰/۴۶۳	** ۰/۸۳۴-
	سطح معناداری	۰/۰۰۲	۰/۰۰۰	۰/۰۰۰
	تعداد	۵۷	۵۷	۵۷

1 Warren et al.

2 Pearson Correlation

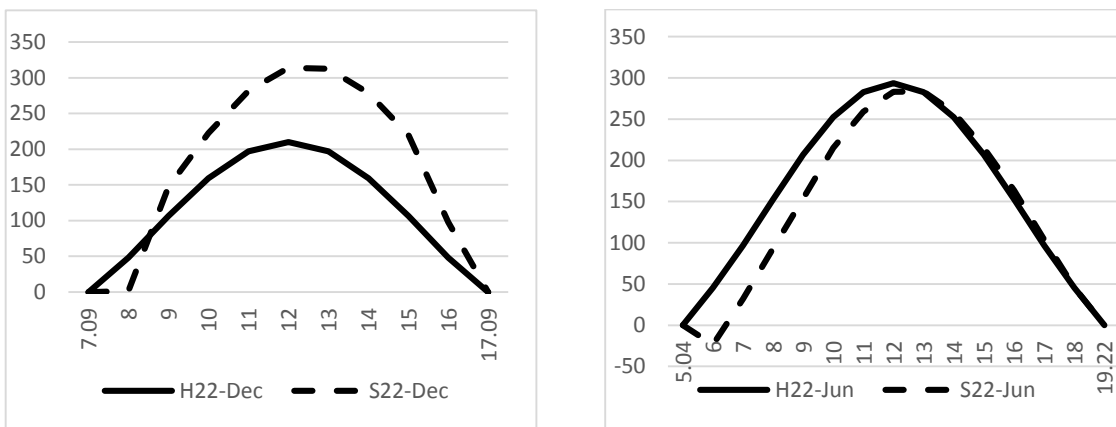
جهت تعیین اثر شیب زمین بر میزان تابش و نایینایی، مقدار تابش بر رویه افقی و سطح شیبدار روزستاها با هم مقایسه شد. با توجه به اینکه شدت تابش در سطح شیبدار به زاویه سرسوی^۱ خورشید در ساعت معین روز بستگی دارد از این‌رو مقدار تابش در روزهای خاصی از سال که زاویه تابش در ساعات مختلف روز حداکثر یا حداقل است با هم مقایسه شد. اگرچه بر اساس روش‌های میانیابی مقدار تابش در تمام روزستاها با توجه به اثر عوامل اقلیمی بر مقدار تابش، در روز ۲۳ جولای و کمترین آن در روز ۲۲ دسامبر رخ داده است. ولی برای مقایسه اثر شرایط حداکثر و حداقل ارتفاع خورشید بر مقدار تابش، این مقادیر برای روزهای ۲۲ ژوئن و ۲۲ دسامبر و ۲۳ مارس محاسبه شده است. همچنین با توجه به محدودیت مقاله فقط وضعیت تابش در سطح شیبدار روزستای سرآقاسید که هم شیب قابل تابش در سطح افقی (شکل ۳-B) و شیبدار (شکل ۳-A) نشان می‌دهد، در روز اول تابستان با بلندترین طول روز، مقدار تابش در سطح افقی بیشترین مقدار در سال است و بر عکس روز اول دی ماه، طول روز کوتاه‌ترین و کمترین میزان تابش را دریافت می‌کند. اما در سطح شیبدار (A) در روزستای سرآقاسید با شیب ۲۵/۸ درجه، مقدار تابش در ظهر روز اول زمستان بیشتر از مقدار تابش در ظهر روز اول تابستان است و مقدار تابش در سطح شیبدار در روز اول دی ماه که ارتفاع خورشید کوتاه‌تر است افزایش بیشتری داشته است. در روز اول زمستان مقدار تابش ۵۳ درصد افزایش پیدا کرده و از ۱۲۳۱ واحد بر متر مربع در روز به ۱۸۷۶ واحد بر متر مربع در روز رسیده است. در صورتی که در روز اول تابستان از ۲۳۶۸ به ۲۱۰۷/۲ بر روی شیب کاهش یافته و عملاً مقدار تابش بر روی شیب ۱۱ درصد نسبت به مقدار تابش در سطح افق کاهش داشته است. به طورکلی به علت شیب ۲۵/۸ درجه‌ای روزستای سرآقاسید، مقدار تابش ۱۹/۲ درصد در سال افزایش دارد.





شکل ۳ نمودار میران تابش در سطح افقی (B) و شیبدار (A) در چهار روز سال در روستای سرآقاسید

در شکل ۴ میزان تابش بر روی سطح افقی و سطح شیبدار در روز اول تابستان و اول زمستان در روستای سرآقاسید با هم مقایسه شده است. در روز اول تیر میزان تابش در سطح شیبدار در صبح تا ظهر بسیار کمتر از مقدار تابش دریافتی در سطح افقی است و از ساعت ۱۳ به بعد، تابش در سطح شیبدار افزایش می‌یابد و میزان تابش دریافت شده در سطح شیبدار بیشتر از میزان تابش در سطح افقی است ولی اختلاف ناچیز می‌باشد. در روز اول دی میزان اختلاف بخصوص در ساعت ۱۳ و ۱۴ به حداقل میزان خود می‌رسد. در روستای سرآقا سید با شیب ۲۵/۸ درجه اختلاف تابش از سطح شیبدار به سطح افقی به شکل قابل قبولی به ۵۲ درصد افزایش می‌یابد. بررسی مجموع تابش دریافتی بر روی سطح افقی و شیبدار نشان می‌دهد به طور میانگین در سطح شیبدار مقدار تابش ۱۹/۲ درصد بیشتر از مجموع تابش دریافتی در سطح افقی است. این میزان در روز اول دی ماه به ۵۲ درصد افزایش می‌یابد ولی در روز اول تیر مقدار تابش در سطح شیبدار ۱۱ درصد کمتر از سطح افقی است. بررسی نمودار شکل ۴ نشان می‌دهد از ساعت ۹ صبح مقدار تابش بر روی سطح شیبدار شروع به افزایش می‌کند و در ساعت ۱۴ و ۱۵ به حداقل میزان اختلاف خود می‌رسد و از ساعت ۱۷ شروع به کاهش می‌نماید.

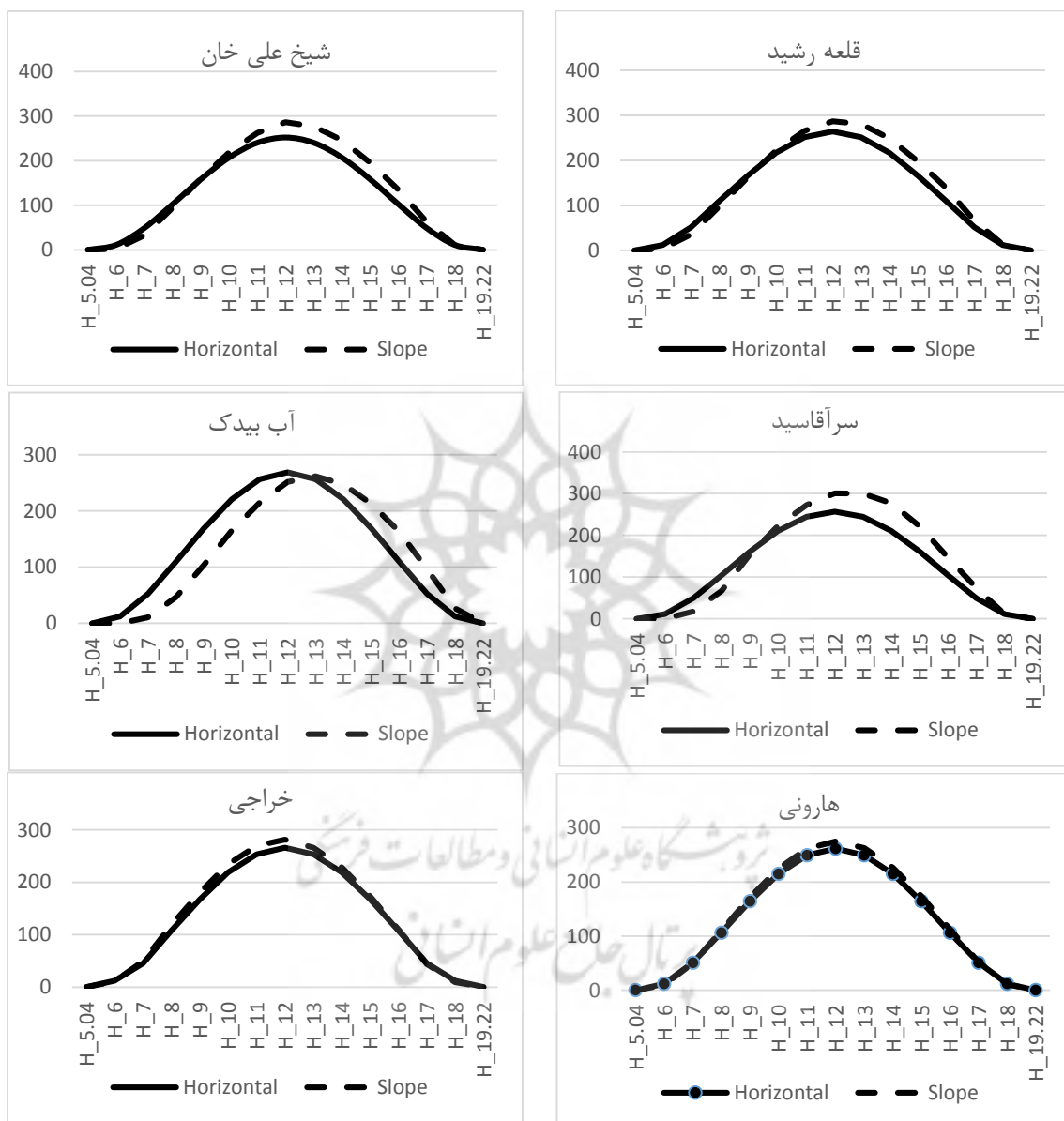


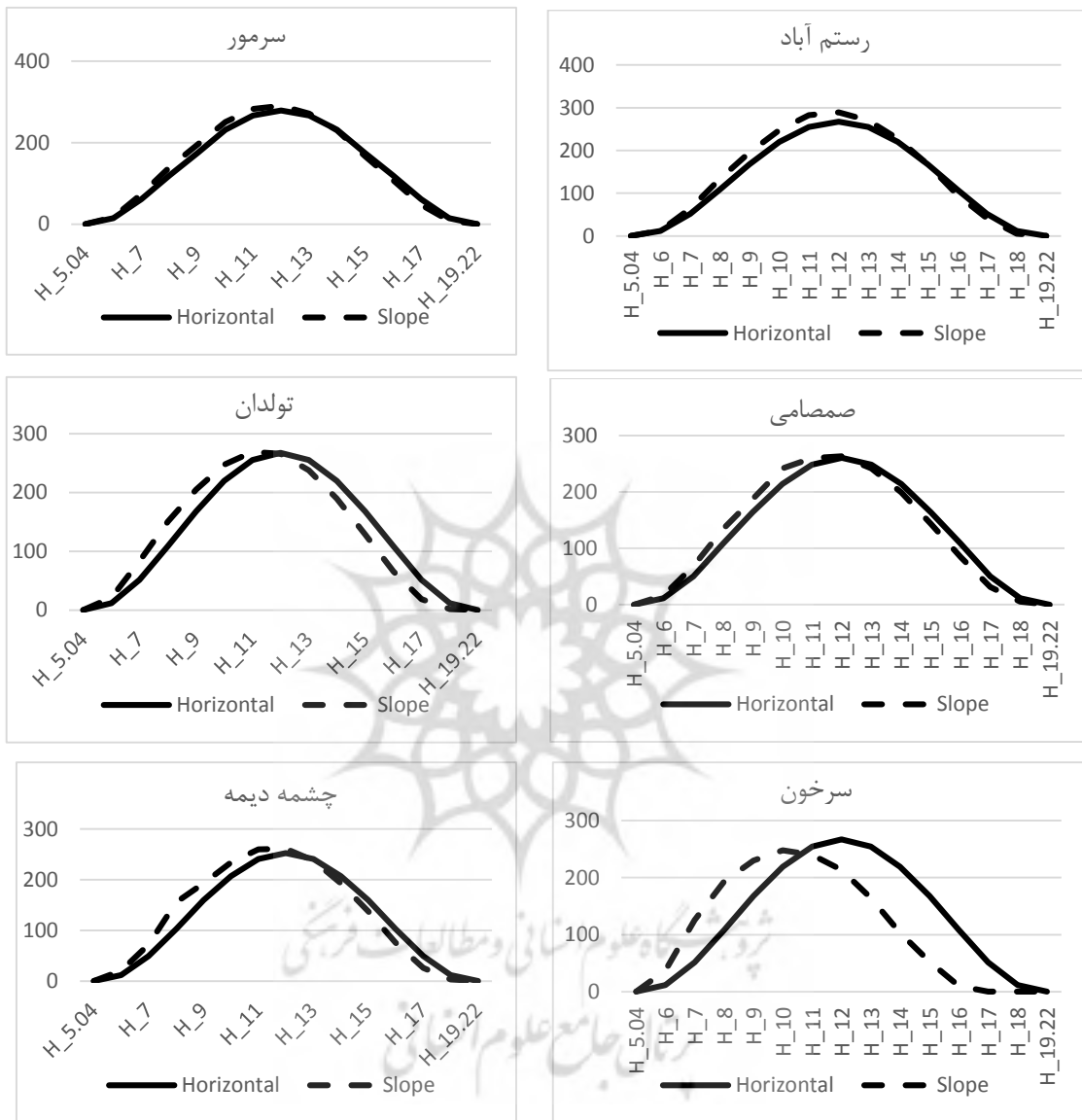
شکل ۴ نمودار مقایسه میران تابش بر روی سطح افقی و سطح شیبدار در روز اول تابستان (سمت چپ) و اول زمستان (سمت راست) در روستای سرآقاسید

تغییرات میانگین سالانه تابش ساعتی در ساعات شباهروز برای روستاهای نمونه با شیب‌های متفاوت و درصد نسبتاً بالای ابتلا به بیماری نایینای در شکل ۵ نشان داده شده است. خط بریده بریده میزان تابش در سطح شیبدار و خط ممتد تابش در سطح افقی روستا را نشان می‌دهد. تغییر در جهت خطوط نمودار به علت آزمیوت جهت شیب روستا است. درصد افزایش تابش در سطح شیبدار نسبت به سطح افقی با توجه به آزمیوت شیب روستا تغییر می‌کند. در روستاهای با شیب بیشتر اختلاف بین خط بریده بریده و خط ممتد بیشتر است. در روستاهای با شیب جنوب غربی و غربی، افزایش تابش (میزان و شدت آن به شیب بستگی دارد) از ساعت ۱۲ تا غروب خورشید مشاهده می‌شود (روستاهای دیمه، رستم‌آباد، سرمور، صه‌صامی، سرخون و تولدان). در روستاهای با شیب جنوبی، افزایش تابش روی سطح شیبدار، در حوالی ظهر مشاهده می‌گردد (روستای هارونی و خراجی). بیشترین درصد افزایش شدت تابش مربوط به شیب‌های رو به جنوب و جنوب غرب و جنوب شرق است و لذا ارتباط نزدیکی بین حداکثر شدن تابش و افزایش شیب و جهت شیب در محل روستاهای وجود دارد.

روابط همبستگی بین جهت شیب نسبت به جنوب و مقدار تابش در سطح شیبدار و درصد افزایش مقدار تابش در سطح شیبدار به ترتیب $R = 0.820$ و $R = 0.795$ است که هر دو در سطح اطمینان ۹۹ درصد تأیید می‌شود. در مجموع میزان تابش در سطح شیبدار $3/5$ درصد نسبت به سطح افقی افزایش داشته است که از حداقل $13/4$ درصد در روستای سرآقا سید تا حداقل $14/5$ - درصد در روستای سرخون متفاوت بوده است. ضریب همبستگی بین مقدار تابش در سطح شیبدار و درصد افزایش تابش در سطح شیبدار 0.892 و در سطح اطمینان ۹۹٪ تأیید

می‌گردد. ضریب همبستگی بین درصد افزایش مقدار تابش در سطح شیبدار روستاهای میزان ابتلا به بیماری ۰/۵۶۲ که در سطح اطمینان ۹۵ درصد تأیید می‌گردد.





شکل ۴ متوسط میزان تابش در طول سال در بر روی سطح افقی (H) و سطح شیبدار (S) در روستاهای نمونه با
شیب‌های متفاوت و درصد نسبتاً بالای ابتلا به نایینای

نتیجه‌گیری

بر اساس تحقیقات صورت گرفته، تابش خور شید مقدار ابتلا به بیماری‌های چشم از جمله آب‌مروارید را افزایش می‌دهد؛ برای مثال (ترمسین و سیگموند، ۲۰۰۱) نشان دادند افزایش حساسیت به نور مرئی می‌تواند با افزایش طول مدت در معرض تشعشع، افزایش یابد و آب‌مروارید (کدری کریستالی عدسی چشم) از علائم شناخته شده تشعشع شدید خور شیدی است (ستورم، ۲۰۰۳). قرارگیری در معرض تابش نور ماوراءبنفس خور شیدی (UVR) یکی از علل افزایش خطر ابتلا به آب‌مروارید است. تأثیرپذیری چشم از تشعشع خور شیدی به عوامل مختلفی، مانند شرایط جوی، میزان انعکاس نور از محیط، موقعیت جغرافیایی و موقعیت آناتومیک چشم بستگی دارد (میدل‌فورد، ۲۰۰۵) و کاهش تعداد روزهای ابرناکی و افزایش درخشندگی خور شید در برخی مناطق می‌تواند شرایط بینایی انسان‌ها را بشدت تحت تأثیر قرار دهد (مک‌میشل، ۲۰۰۶). همچنین تحقیقات نشان داده تعداد مبتلایان به بیماری‌های چشمی و از جمله آب‌مروارید در مناطق روستایی استان چهارمحال و بختیاری بیشتر است (مباشی و همکاران، ۱۳۹۲: ۱۷۰).

بررسی این موضوع در روستاهای استان چهارمحال و بختیاری که مردمان آن از میزان بالای بیماران چشمی بخصوص آب‌مروارید رنج می‌برد نشان داد کوهستانی بودن استان و نیز ارتفاع زیاد روستاهای آن موجب حداکثر شدن تابش خور شید در سطوح شیبدار رو به جنوب، جنوب غرب و جنوب شرق می‌شود که وجود برف در فصل زمستان، درخشندگی خور شید در سطح براق برف را افزایش داده، باعث افزایش ابتلا به بیماری‌های چشم می‌گردد. برای مثال در ایستگاه کوهرنگ به طور متوسط هر سال ۵۲ روز توأم با ریزش برف است. کما اینکه شدت تابش در شب‌های رویه جنوب در زمستان افزایش بیشتری دارد. نتایج نشان داد ۴۵/۹ درصد جمعیت روستایی و ۴۲/۱ درصد روستاهای با ابتلای بالای آب‌مروارید در شب‌های رویه جنوب و جنوب غرب و جنوب شرق قرار دارند. ارتباط معناداری بین مقدار شب و جهت شب به سمت جنوب با نرخ نایینایی وجود دارد. از این‌رو با افزایش مقدار شب و تعییر جهت شب به سمت جنوب، بر تعداد مبتلایان به نایینایی در روستاهای افروده می‌گردد. همچنین ارتباط معناداری بین افزایش ارتفاع روستاهای افزایش تعداد مبتلایان به نایینایی وجود دارد و بیشتر نایینایان (۶۰ درصد) در ارتفاع بالاتر از ۲۰۰۰ متر زندگی می‌کنند. زیرا با افزایش ارتفاع روستا، ارتفاع جو کوتاه‌تر و رقیق‌تر شده و شدت تابش بخصوص تابش UV افزایش می‌یابد.

بر اساس نتایج به دست آمده میزان تابش در سطح روستاهای با دما رابطه مثبت و با رطوبت نسبی رابطه معکوس دارد و ارتباط تابش در سطح افق با متوسط حداقل رطوبت نسبی که در ساعت ۱۲/۵ قوی‌تر است. از این‌رو با افزایش رطوبت نسبی از شدت تابش کا سته می‌شود. بر این اساس می‌توان با کاشت درخت در محدوده و معابر روستا، رطوبت نسبی هوا بخصوص در میانه روز را افزایش داد و به این ترتیب از میزان درخشندگی خور شید کاست و میزان ابتلا به بیماری چشمی را کاهش داد. بررسی‌ها نشان داده در روستاهای نواحی کوهستانی سایت روستا در اراضی غیر

قابل کشت بنا می شود. این اراضی، بعضًا سنگلاخی بوده و برای کاشت درخت مناسب نیستند که می توان با تصمیم مناسب که با مطالعه بیشتر به دست می آید، نسبت به حل مشکل اقدام کرد.

تشکر و قدردانی

از مسئولین محترم اداره بهزیستی استان چهارمحال و بختیاری، بخصوص سرکار خانم دکتر عسکری، معاون محترم مبارزه با بیماری های واگیر که داده های نایینایی در روستاهای استان را در اختیار قرار دادن، تشکر و قدردانی می نماییم.

کتابنامه

زالی، علیرضا؛ ۱۳۹۳. مصاحبه با رئیس کل سازمان نظام پزشکی کشور. سایت خبری www.tasnimnews.com
 عظیمی، عباس؛ ۱۳۹۵. مصاحبه با عضو هیات مدیره انجمن اپتومتری ایران. سایت خبرنگار علمی ایرنا www.irna.ir
 مبادری، محمود؛ بارونی، محسن؛ علیدوستی، معصومه؛ یوسفی، محمود؛ معمارزاده، سیدعزت الله؛ بهزادی، یوسف؛
 ۱۳۹۲. مقایسه کیفیت زندگی بیماران بالای ۵۰ سال قبل و بعد از عمل جراحی آب مروارید در استان
 چهارمحال و بختیاری. مجله علمی- پژوهشی دانشگاه علوم پزشکی ایلام. دوره ۲۱. شماره ۶. صص ۱۷۳-
 ۱۶۷.

محمدی، سید فرزاد؛ ۱۳۹۴. رئیس اداره پیشگیری از بیماری های چشم وزارت بهداشت. سایت خبری www.behdasht.gov.ir/news

- Aggarwal, R.K. (2013). Estimation of Total solar radiation on tilted surfaces. *Journal of Environmental Engineering and Technology*, 2(1), 4-6.
- Allen, R.G., Trezza, R., & Tasumi, M. (2006). Analytical integrated functions for daily solar radiation on slopes. *Agricultural and Forest Meteorology*, 139, 55° 73.
- Basunia, M.A., Yoshiob, H., & Abe, T. (2012). Simulation of Solar Radiation Incident on Horizontal and Inclined Surfaces. *TJER*, 9(2), 27-35.
- Blakely, E. (2010). Studies of the biological mechanisms of cataract induction by space radiation. *Meeting Report on Cataractogenesis: Epidemiology and Biology. Radiation Research*, 173(5), 709-717.
- Blakely, E.A., Kleiman, N.J., Neriishi, K.G., Chylack, L.T., Cucinotta, F.A., Minamoto, A., Nakashima, E., Kumagami, T., Kitaoka, T., Kanamoto, T., Kiuchi Y, Chang, P., Fujii, N., & Shore, R.E. (2010). *Radiation Cataractogenesis: Epidemiology and Biology. Radiation Research*, 173(5), 709-717.
- Brown, N.A.P., Shun-Shin, G.A., Lewis, P., Cramp, W.A., Arlett, C., Cole, J., Waugh, A.P.W., & Stephens, G. (1989). Relationship of cataract to radiation sensitivity. *British Journal of Ophthalmology*, 73, 955-959.
- Chandel, S.S. & Aggarwal, R.K. (2011). Estimation of Hourly Solar Radiation on Horizontal and Inclined Surfaces in Western Himalayas. *Smart Grid and Renewable Energy*, 2, 45-55.
- Chodick, G. (2010), The NCI Study of U.S. Radiologic Technologists. *Meeting Report on Cataractogenesis: Epidemiology and Biology. Radiation Research*, 173(5), 709-717.

- Chylack, L.T. (2010). The NASA Study of Cataract in Astronauts (NASCA). *Meeting Report on Cataractogenesis: Epidemiology and Biology. Radiation Research*, 173(5), 709-717.
- Duffie, J.A., & Beckman, W.A. (1980). Solar Engineering of Thermal Processes. Second Edition; New York: John Wiley & Sons.
- Hoyos-Bachiloglu, R., Morales, P.S., Cerda, J., Talesnik, E., Gonzalez, G., Camargo J.R.C.A., & Borzutzky, A. (2014). Higher latitude and lower solar radiation influence on anaphylaxis in Chilean children. *Pediatric Allergy and Immunology*, 25, 338° 343.
- Kamali, Gh,A., Moradi, I., & Khalili, A. (2006). Estimating solar radiation on tilted surfaces with various orientations: a study case in Karaj (Iran). *Theoretical and Applied Climatology*, 84, 235° 241.
- Kanamoto, T.A. (2010). Review of the numerous mechanisms and risk factors. *Meeting Report on Cataractogenesis: Epidemiology and Biology. Radiation Research*, 173(5), 709-717.
- Kumagami, T. (2010). A review of clinical epidemiology studies of radiation Cataract. *Meeting Report on Cataractogenesis: Epidemiology and Biology. Radiation Research*, 173(5), 709-717.
- Kumar, L., Skidmore, A.K., & Knowles, E. (1997). Modelling topographic variation in solar radiation in a GIS Environment. *International Journal of Geographical Information Science*, 11(5), 475- 497.
- McMichael, A.J., Woodruff, R.E., & Hales, S. (2006). Climate change and human health: present and future risks. *Lancet*, 367, 859° 69.
- Midelfart, A. (2005). Ultraviolet radiation and Cataract. *ACTA OPHTHALMOLOGICA SCANDINAVICA*, 83, 642° 644.
- Nakashima, E. (2010). The RERF prevalence and incidence studies of cataract extraction surgery in the Adult Health Study of atomic bomb survivors. *Cataractogenesis: Epidemiology and Biology. Radiation Research*, 173(5), 709-717.
- Strom, D.J. (2003). Health Impacts from Acute Radiation Exposure. Report Prepared for the U.S. Department of Energy under Contract. *Pacific Northwest National Laboratory*: DE-AC06-76RL01830.
- Tremsin, A.S., & Siegmund, O.H.W. (2001). UV radiation resistance and solar blindness of CsI and KBr photocathodes. *IEEE Transaction on Nuclear Science*, 48(3), 421° 425.
- Wang, S., Chen, W., & Cihlar, J. (2002). New calculation methods of diurnal distribution of solar radiation and its interception by canopy over complex terrain. *Ecological Modelling*, 155(2), 1-30.
- Warren, J.W., & Warren, S.G. (1980). A Model For Spectral Albedo of Snow I: Pure Snow, *Journal of Atmospheric Sciences*, 37, 2712-2733.